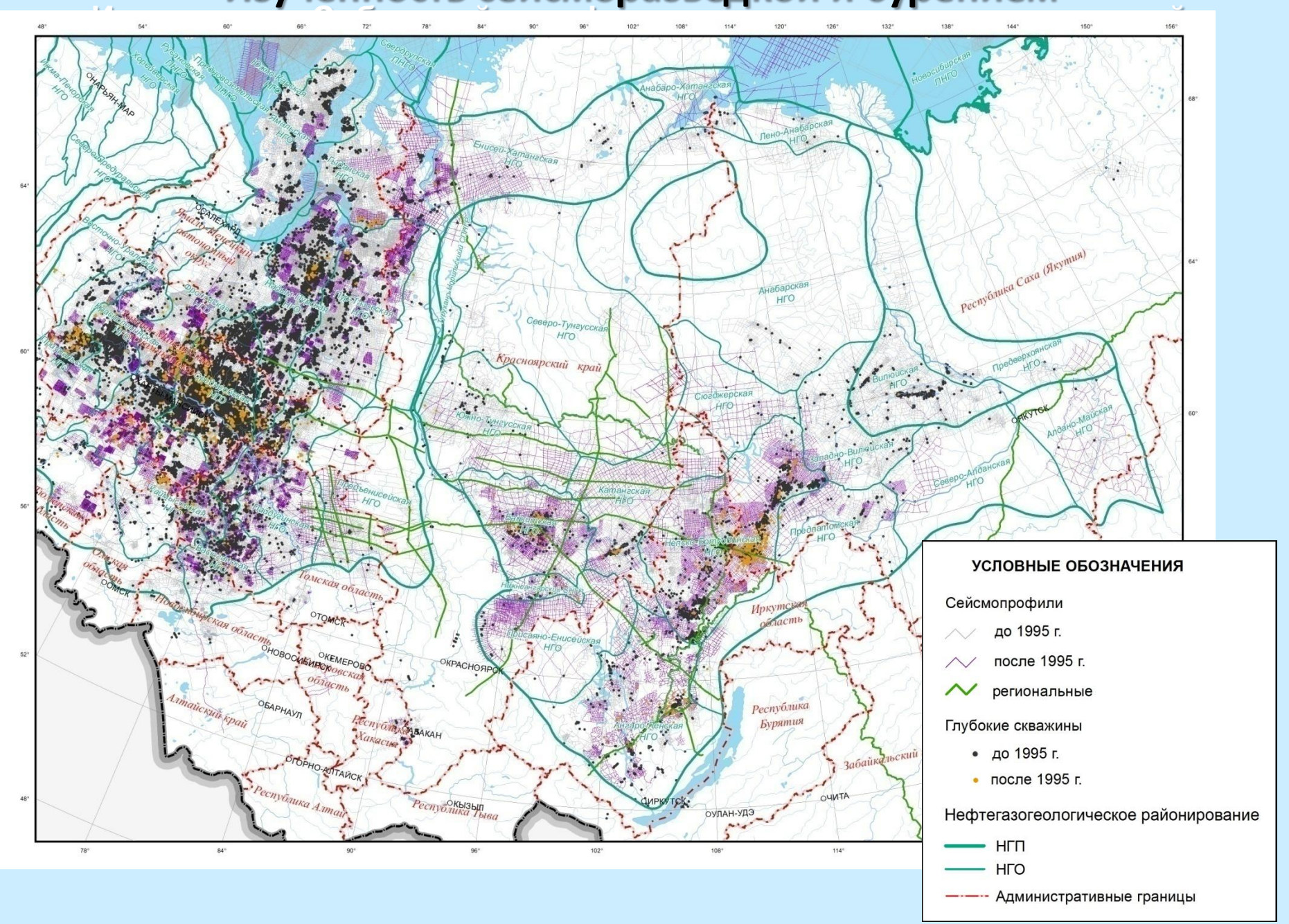


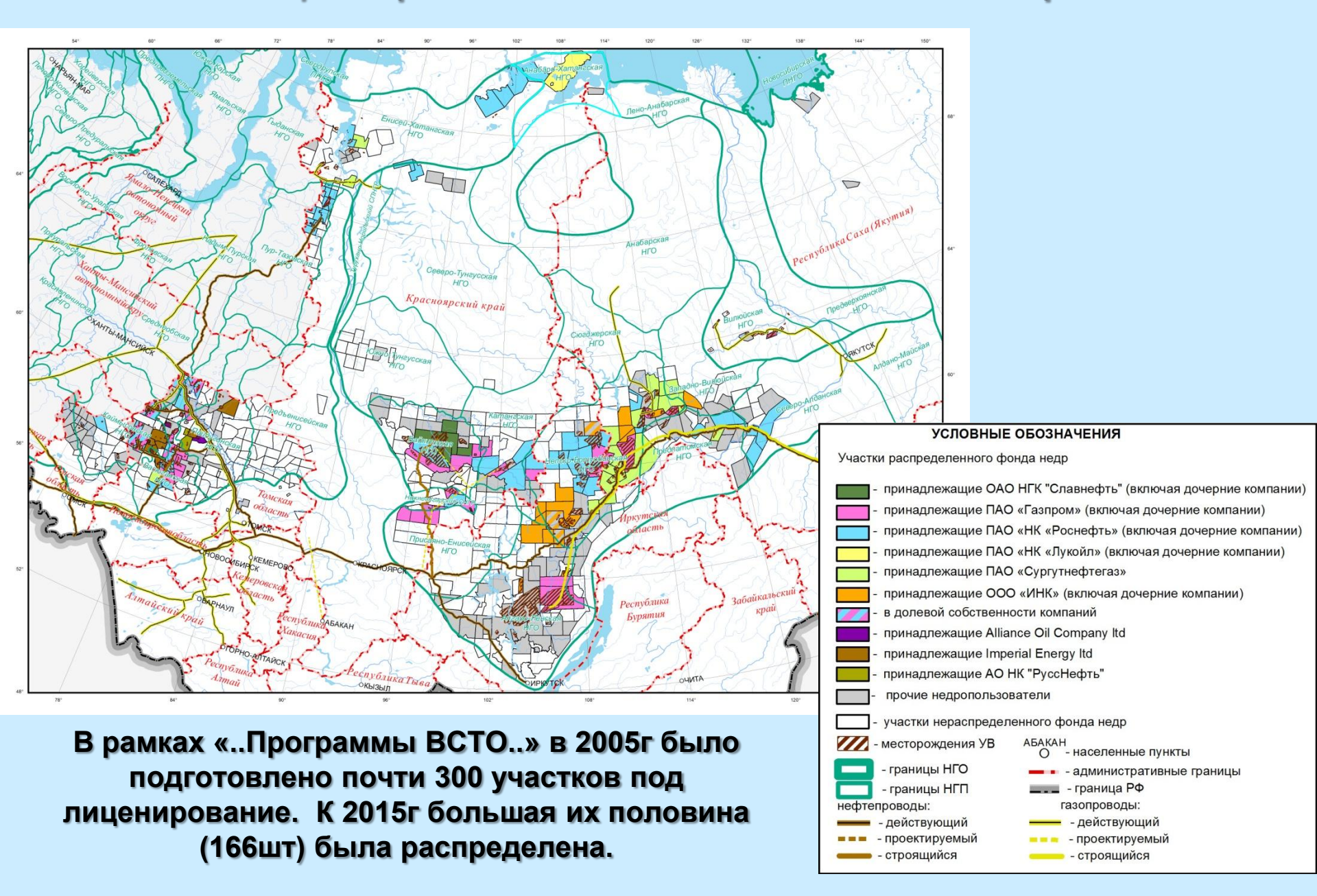
# «Перспективы поисков сланцевой нефти в иниканской и куонамской формациях на территории Восточной Сибири»

Соболев Петр Николаевич Смирнов Евгений Валерьевич Сагимбаев Ербол Турсунович

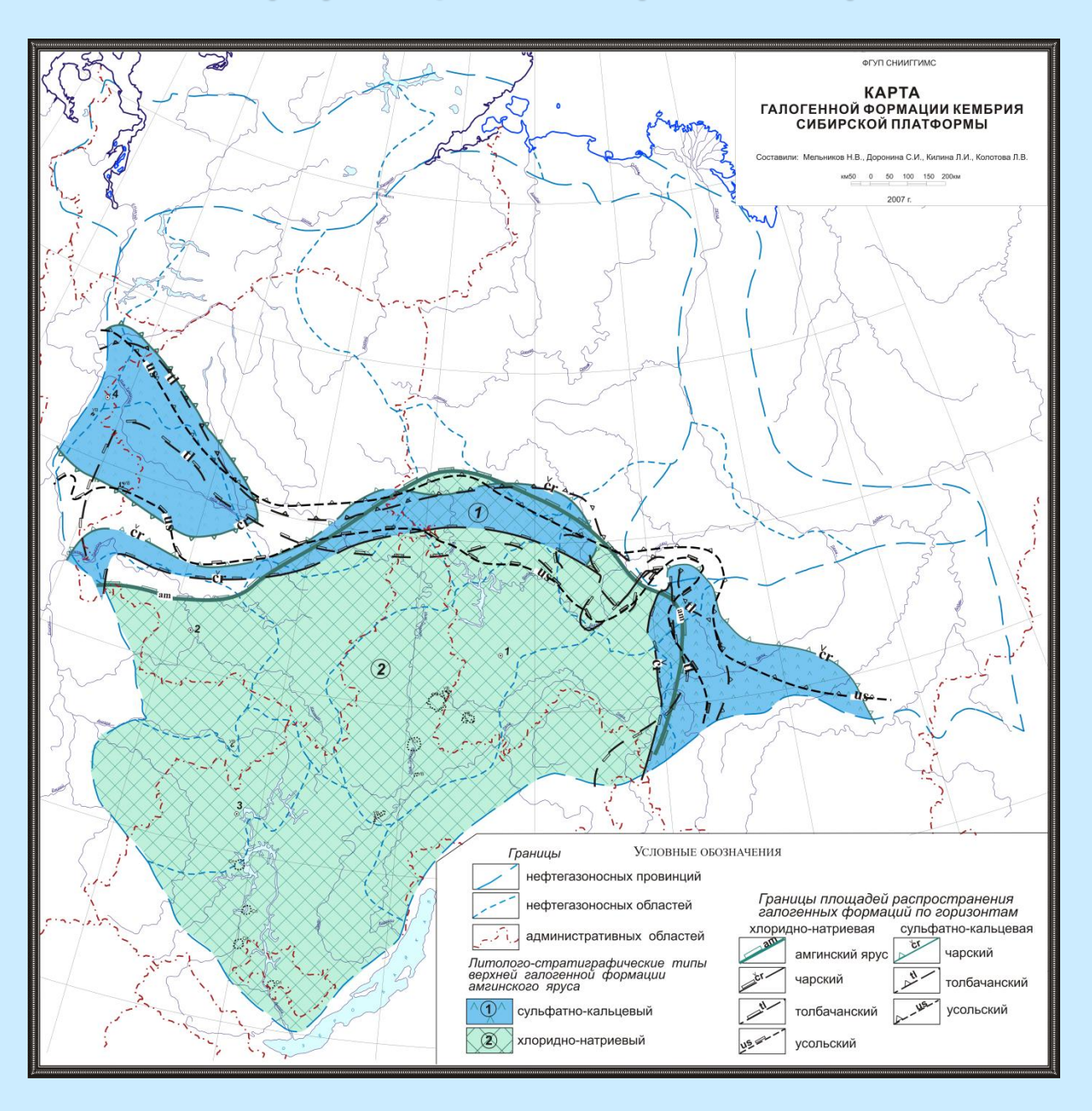
### Изученность сейсморазведкой и бурением



### Лицензирование на УВС в Восточной Сибири



### Карта галогенной формации кембрия сибирской платформы

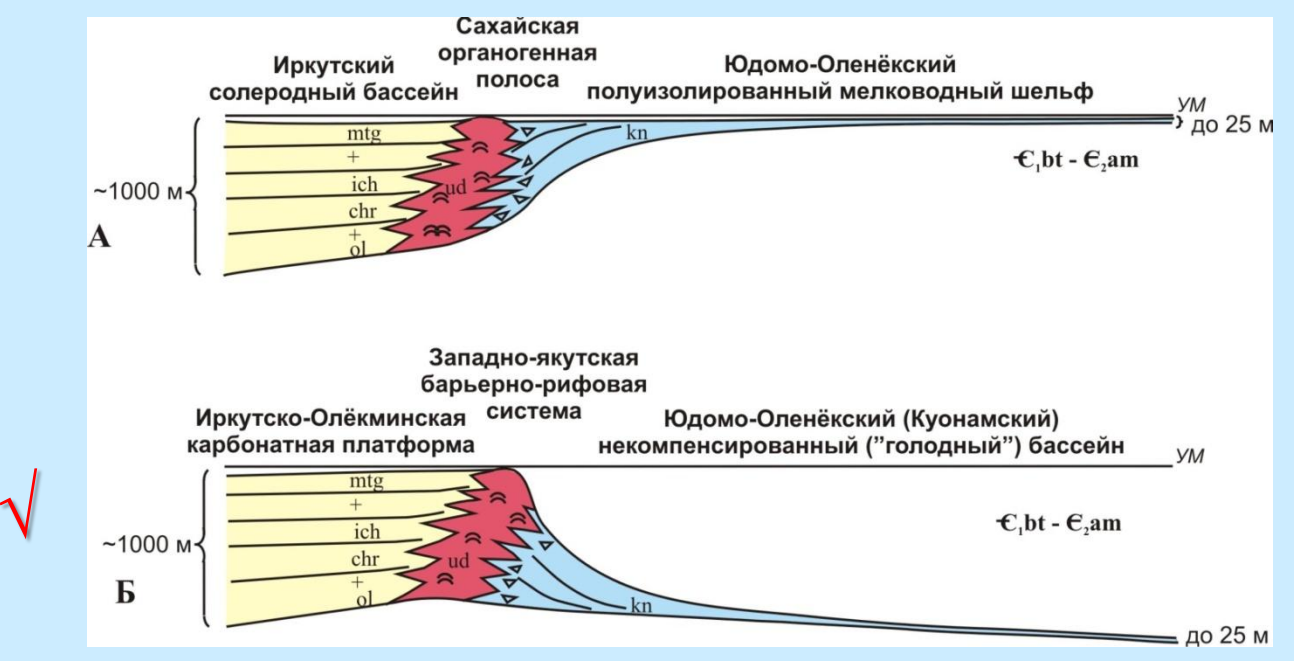


На территории Сибирской платформы широко распространены доманикоидные отложения нижне-среднекембрийского возраста, известные под названием куонамской битуминозной формации, объединяющей отложения куонамской, иниканской и шумнинской свит. Эти отложения привлекают внимание обогащеностью органическим веществом, содержания которого максимальны во всем фанерозойском разрезе осадочного чехла. По своему литологическому составу, толщинам и обогащенности РОВ породы куонамской формации являются аналогами известной баженовской свиты Западной Сибири и доманика Русской платформы. Основные породообразующие компоненты в составе куонамской формации - глинистое вещество, кремнезем, карбонатный материал, органическое вещество. Толщины пород куонамской формации варьируют в пределах 20 - 120 м, в среднем 30-40 м. Наиболее обогащены ОВ разрезы, формировавшиеся в условиях максимальной некомпенсации осадконакопления, имеющие минимальные мощности и в среднем содержащие 4-5% органического углерода на породу.





Существуют два взаимоисключающих варианта реконструкции морфоструктуры (батиметрии) окраинных кембрийских бассейнов Сибирской платформы и роли тектонического и седиментационного факторов в фациальной зональности отложений (С.С. Сухов, 2007)



Схематические палеогеологические разрезы вкрест простирания фациальных зон кембрия Сибирской платформы, построенные в соответствии с концепцией:

- (A) повсеместно мелководного кембрийского бассейна Сибирской платформы, с резко неравномерным погружением ложа и постоянной компенсацией его осадками;
- (Б) последовательного формирования седиментационной морфоструктуры, с образованием Иркутско-Олёкминской карбонатной платформы и Юдомо-Оленёкского глубоководного некомпенсированного бассейна.

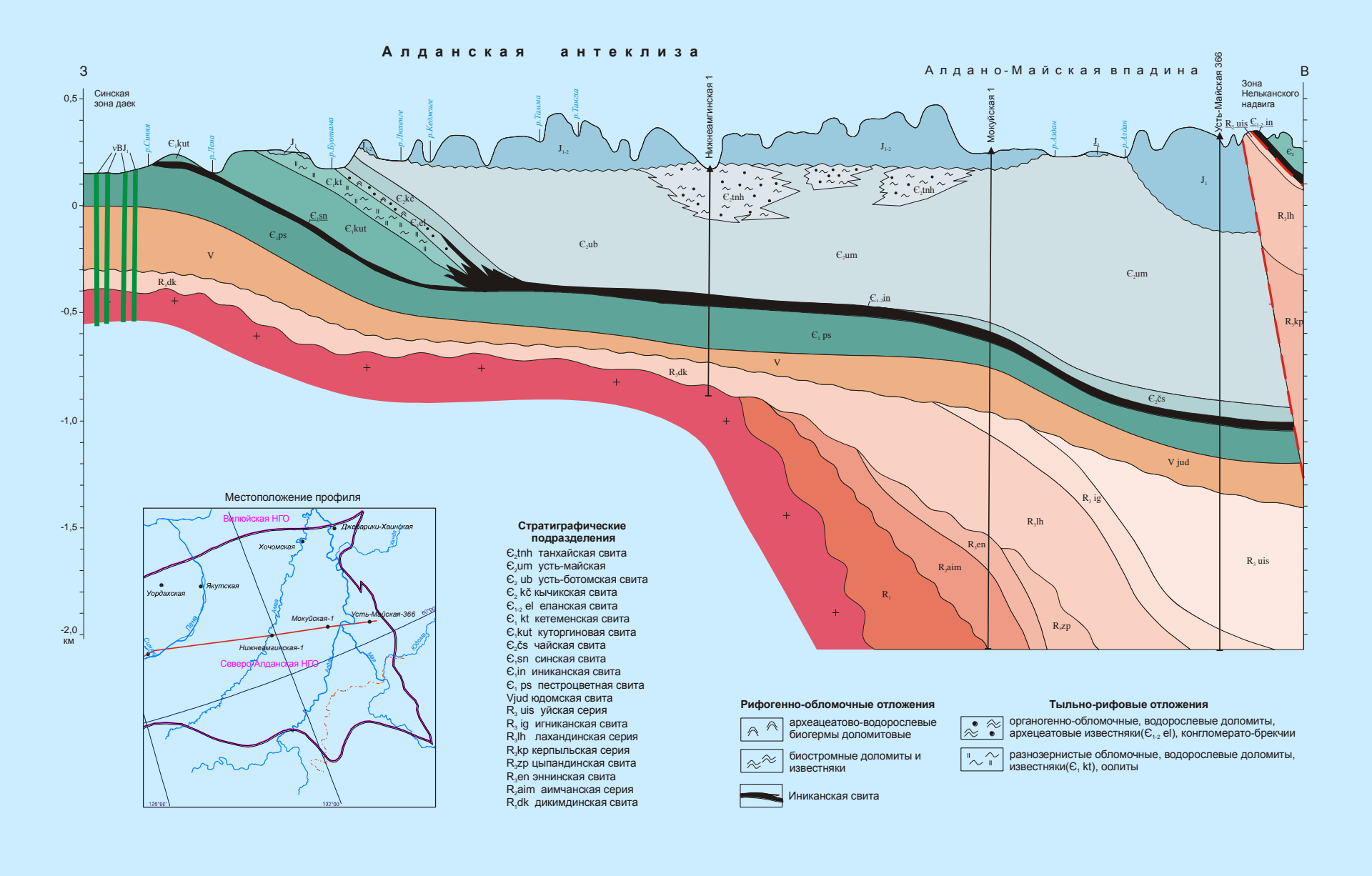
Весь имеющийся комплекс данных свидетельствует о несостоятельности все еще популярного варианта А.

<u>Модель Б о</u>бъясняет многие парадоксы, решает существующие проблемы в корреляции разнофациальных отложений и служит эффективным инструментом анализа геологической информации и прогноза.

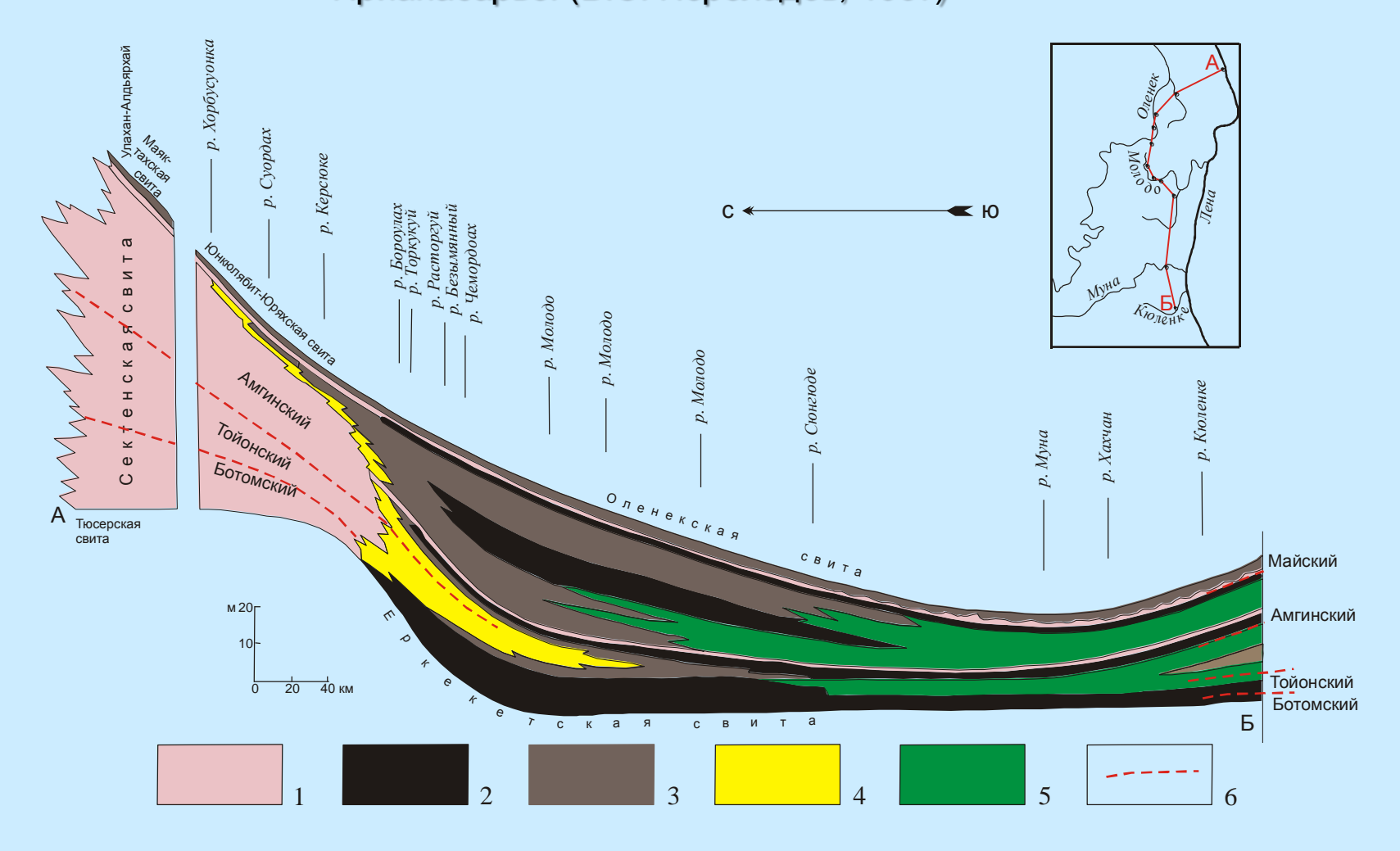
# Принципиальная модель формирования кембрийских отложений Сибирской платформы, соотношения основных фациальных комплексов (В.А. Асташкин, С.С. Сухов и др., 1989)



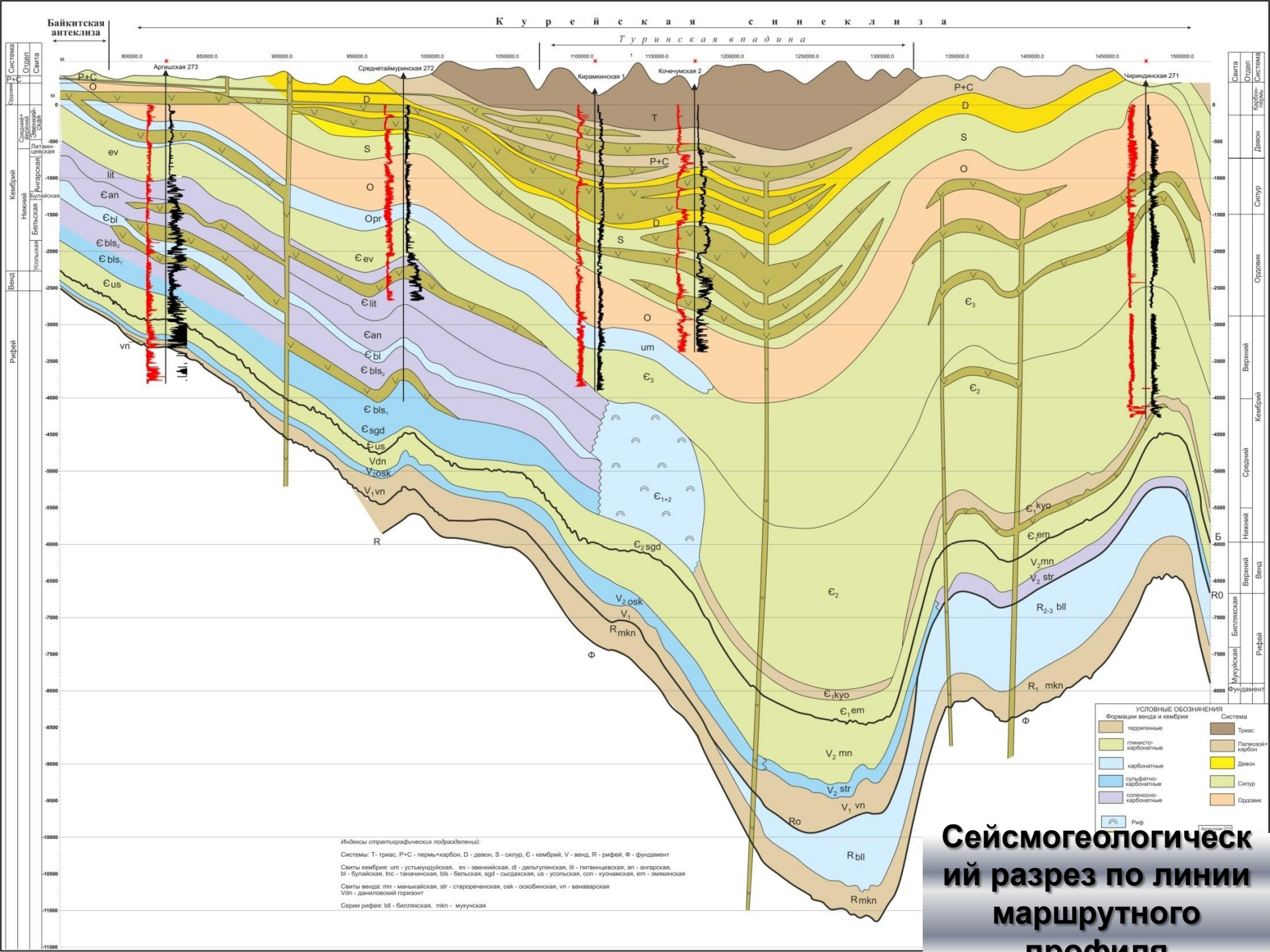
#### Геологический разрез Северо-Алданской НГО



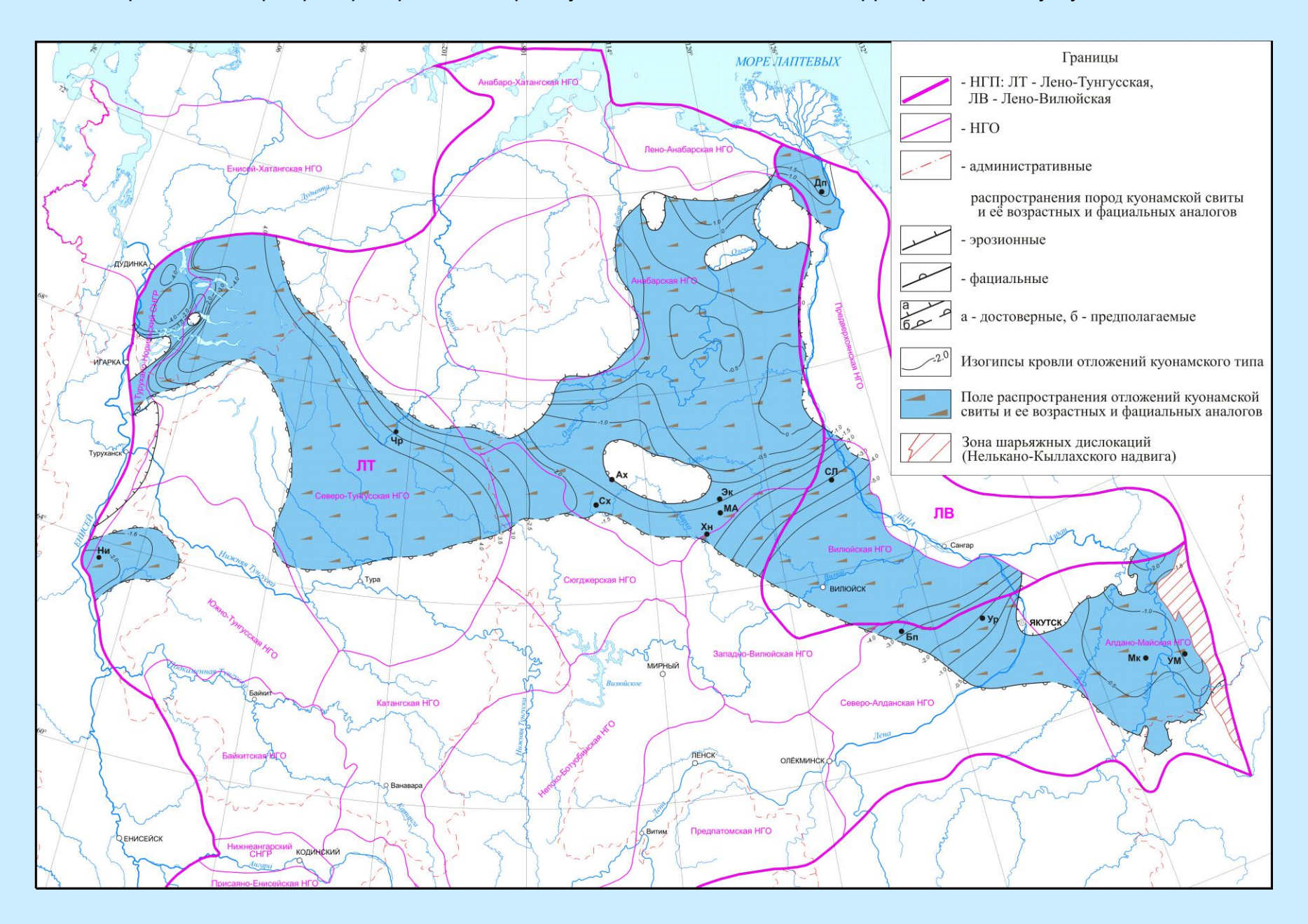
## Литолого-фациальный профиль куонамского комплекса отложений. Юго-восточное Прианабарье. (В.С. Переладов, 1987)



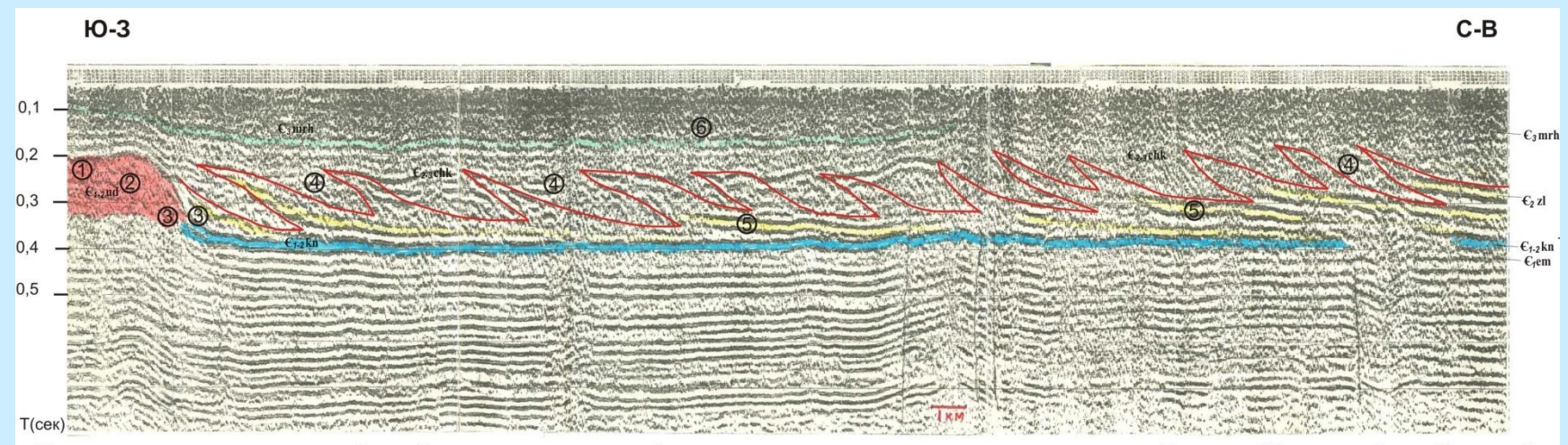
<sup>1 -</sup> серые биоинтракластические известняки, 2 - черные микрослойчатые аргиллиты (OB > 1%), 3 - черные тонко-микрослойчатые породы смешанного кремнисто-карбонатно-глинистого состава (OB >1%), 4 - зеленовато-серые аргиллиты и мергели (OB <1%), 5 - черные и темно-серые кремни, 6 - границы ярусов



#### Прогнозная карта распространения пород куонамского комплекса на территории Лено-Тунгусской НГП



## Разрез Удачнинского барьерно-рифогого комплекса, ограничивающего «куонамский» бассейн (С.С. Сухов, 2007)



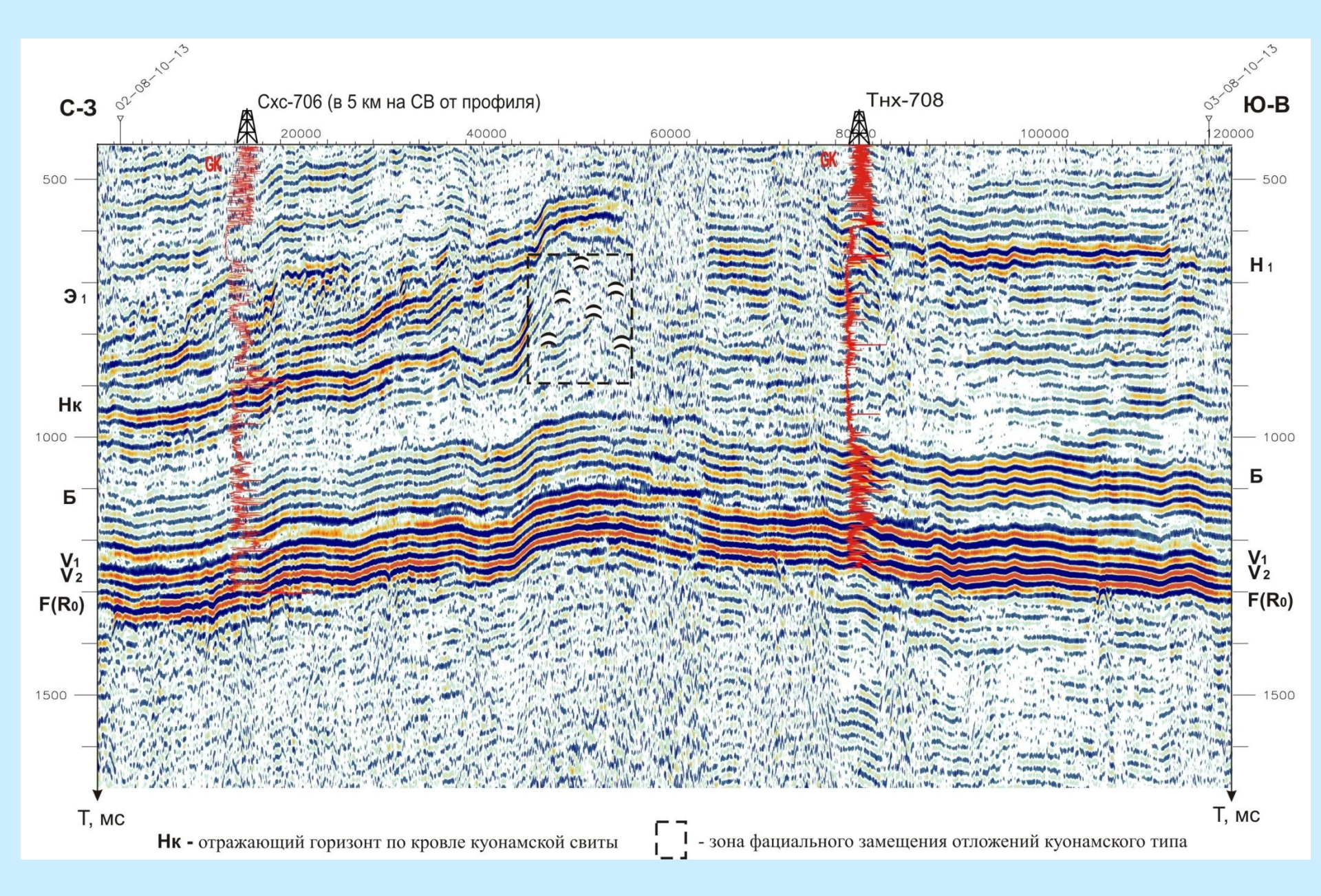
Иллюстрирует проградацию (или боковое наращивание) в северо-восточном направлении окраины Далдыно-Мархинской карбонатной банки. Отчетливо выделяются: мощный барьерно-рифовый комплекс (нижне-среднекембрийская удачнинская свита) и замещающая его маломощная черносланцевая куонамская свита; клиноформная сигмоидная структура толщи заполнения (майский ярус), с латеральным фациальным взаимозамещением аналогов оленекской (нижнесклоновой), джахтарской (среднесклоновой) и силигирской (верхнеслоновой) свит, со "скользящими" границами между ними и подошвенным прилеганием; несколько фаз продвижения окраины Далдыно-Мархинской карбонатной банки в майском веке; раннечукукский рифово-баровый комплекс с органогенными постройками рампового типа; подошва верхнекембрийских карбонатно-глинистых отложений лагунного типа, ложащихся на выровненной поверхности приращения карбонатной банки.

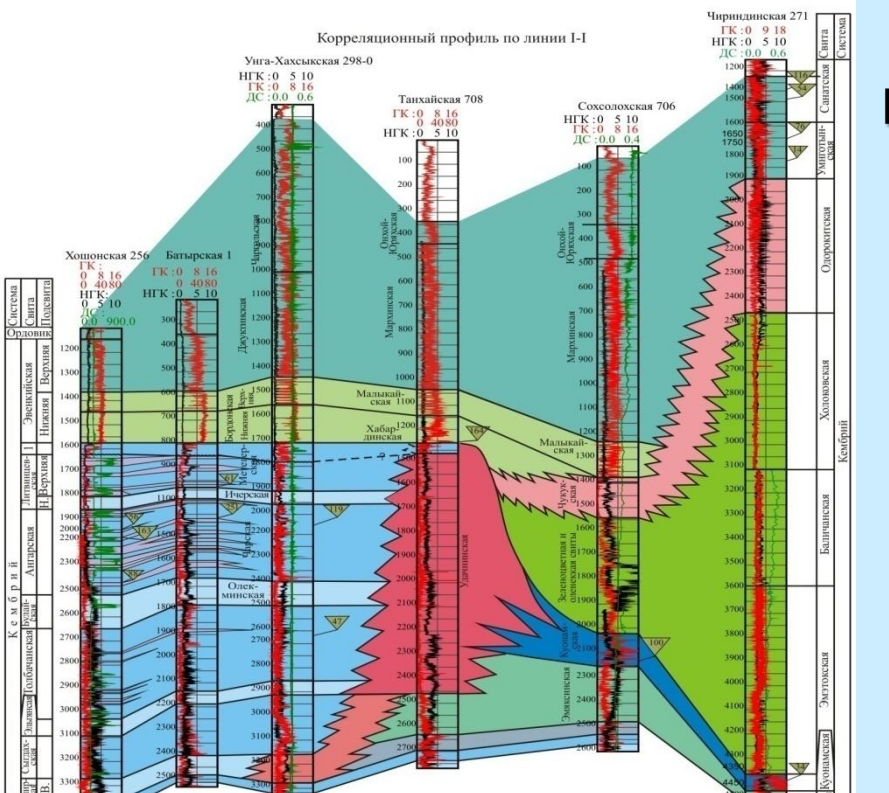
#### Сейсмофации:

- тыльнорифовые;
- рифового "ядра" барьерной фазы;
- обломочных шлейфов нижнего склона;
- банково-рифово-баровый и верхнесклоновый комплексы;
- ⑤ флишоидный комплекс "толщи заполнения";
  - внутрешельфовый карбонатно-глинистый комплекс, малыкайская (бордонская) и мархинская свиты

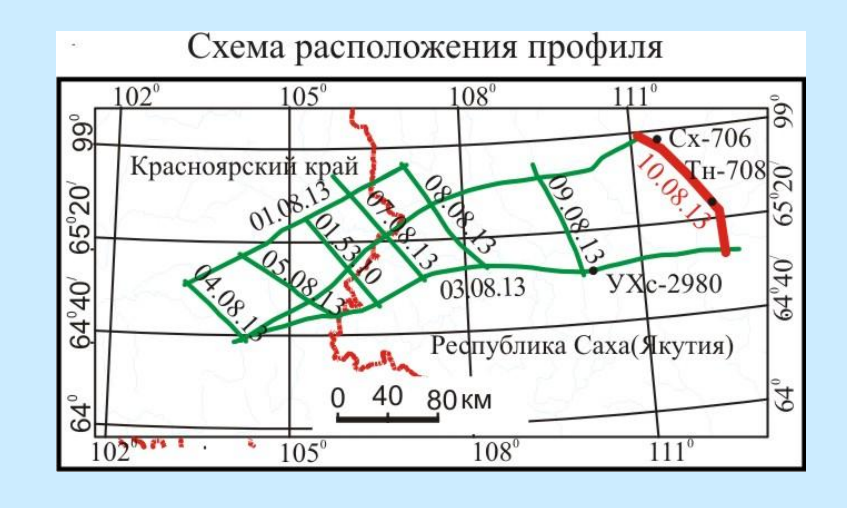
Фрагмент сейсмического профиля 871769, проходящего вблизи скв. Онкучахская-2861

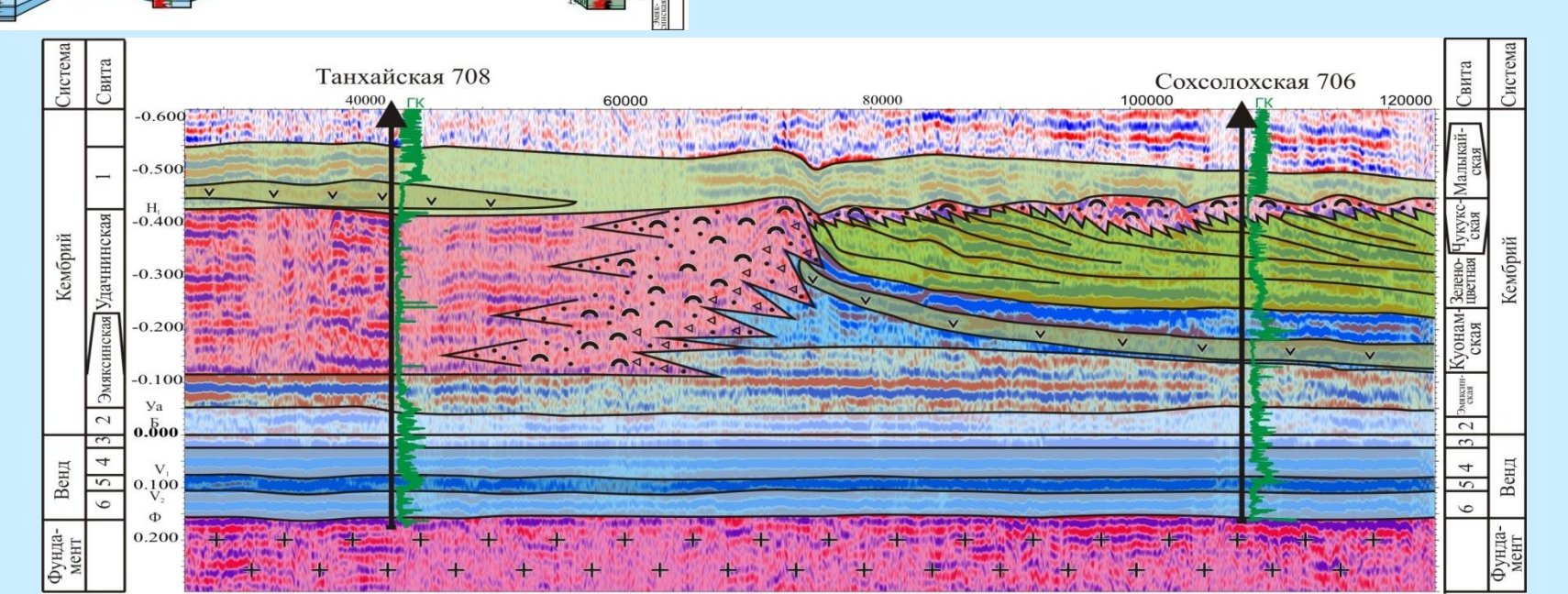
#### Временной разрез по профилю ПР10.08.13 (по А. А. Евграфову и др. 2013 г.)

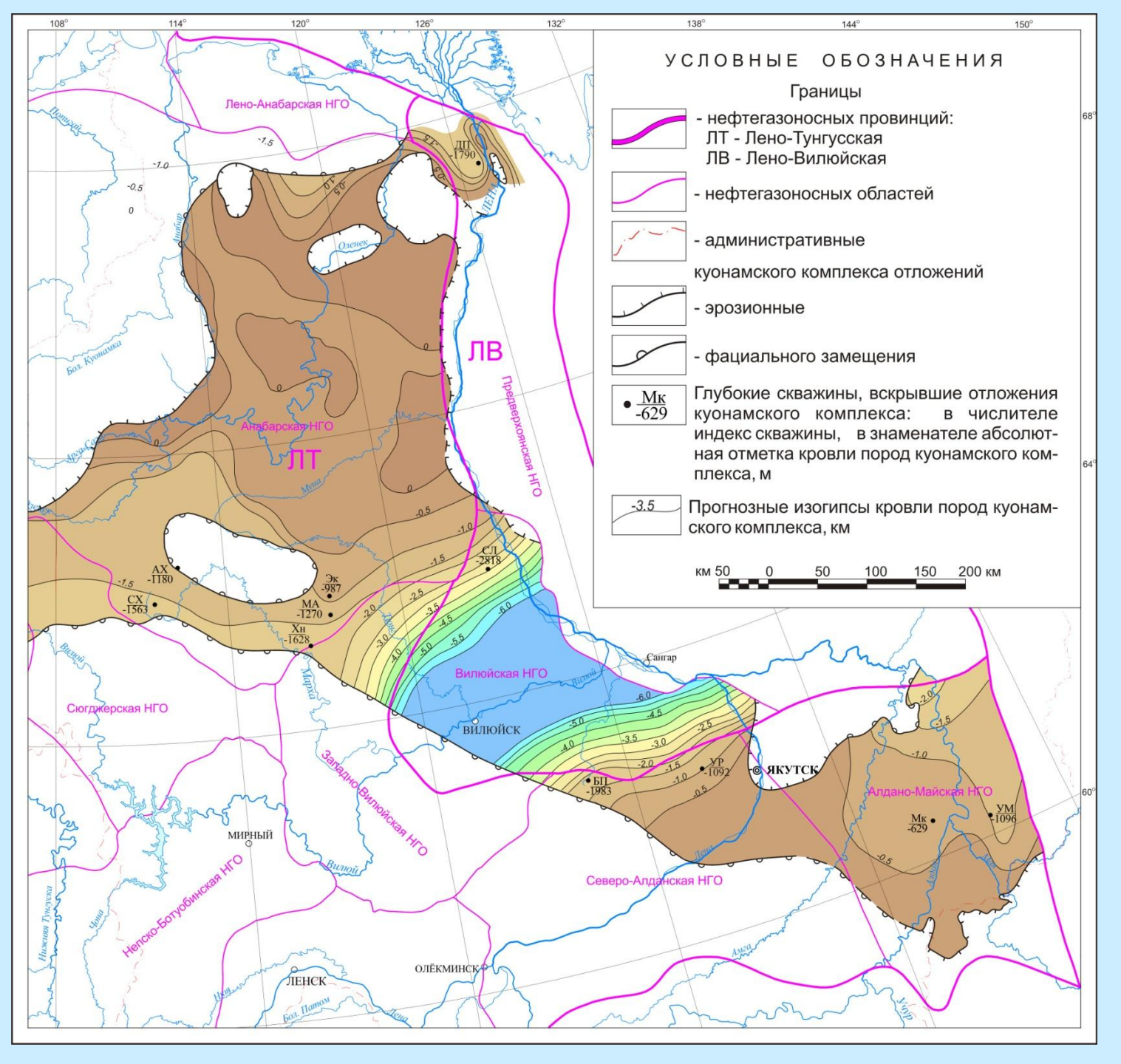




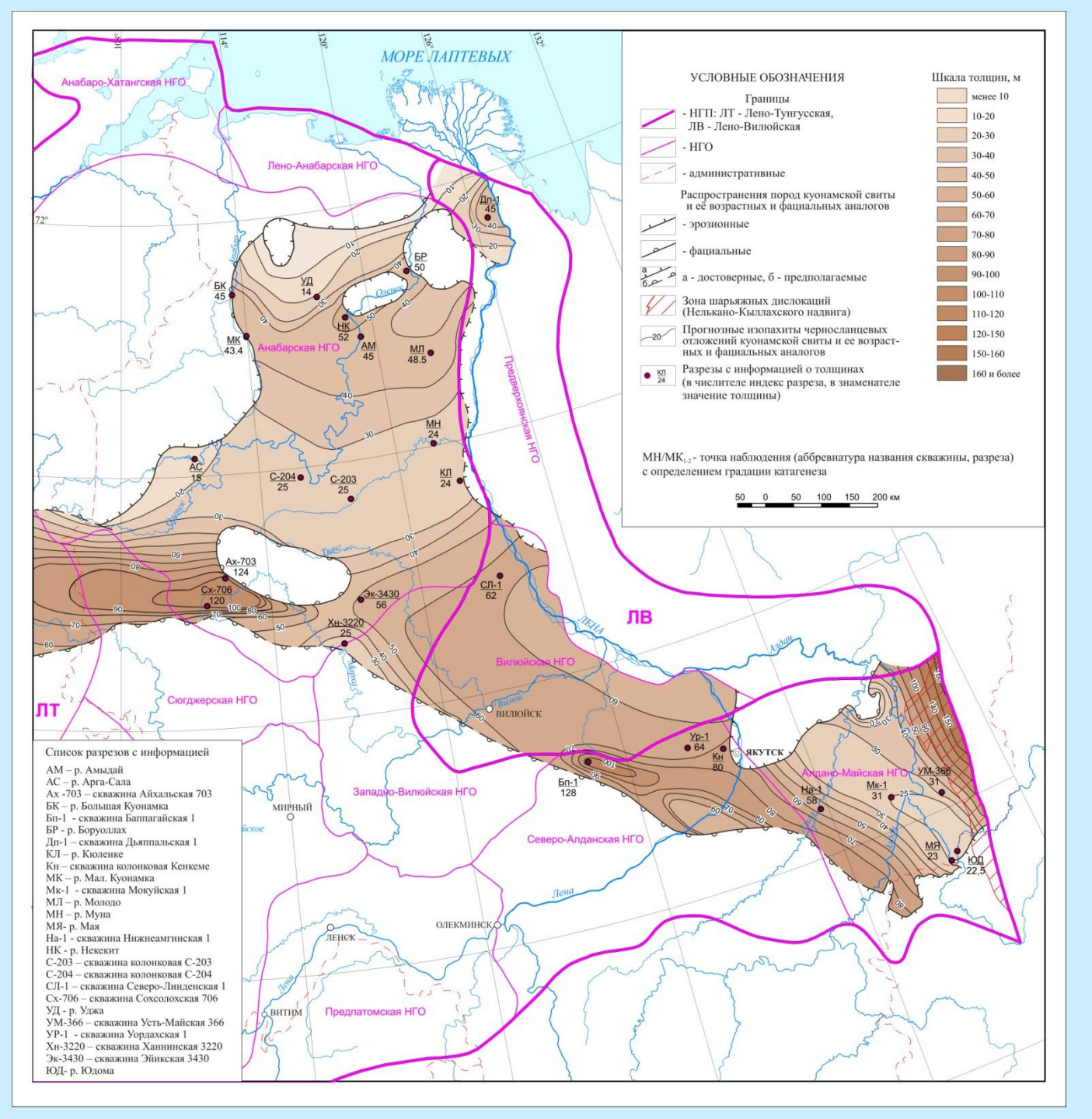
# Корреляция отложений кембрия по разрезам скважин и сейсмогеологический разрез по профилю 10.08.13



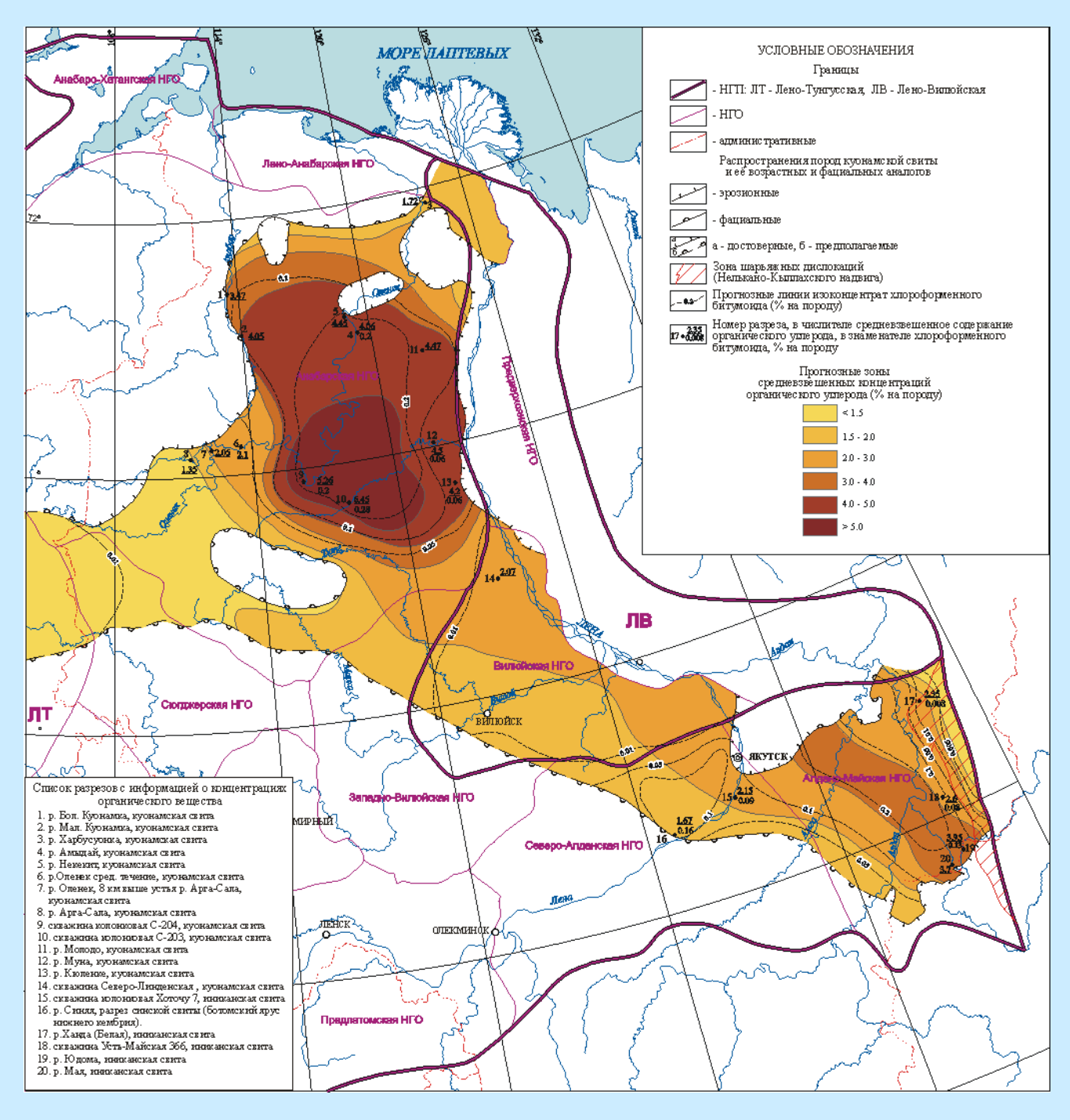




Структурная карта по кровле куонамского комплекса на территории Западной Якутии (куонамская свита, ее возрастные и фациальные аналоги)



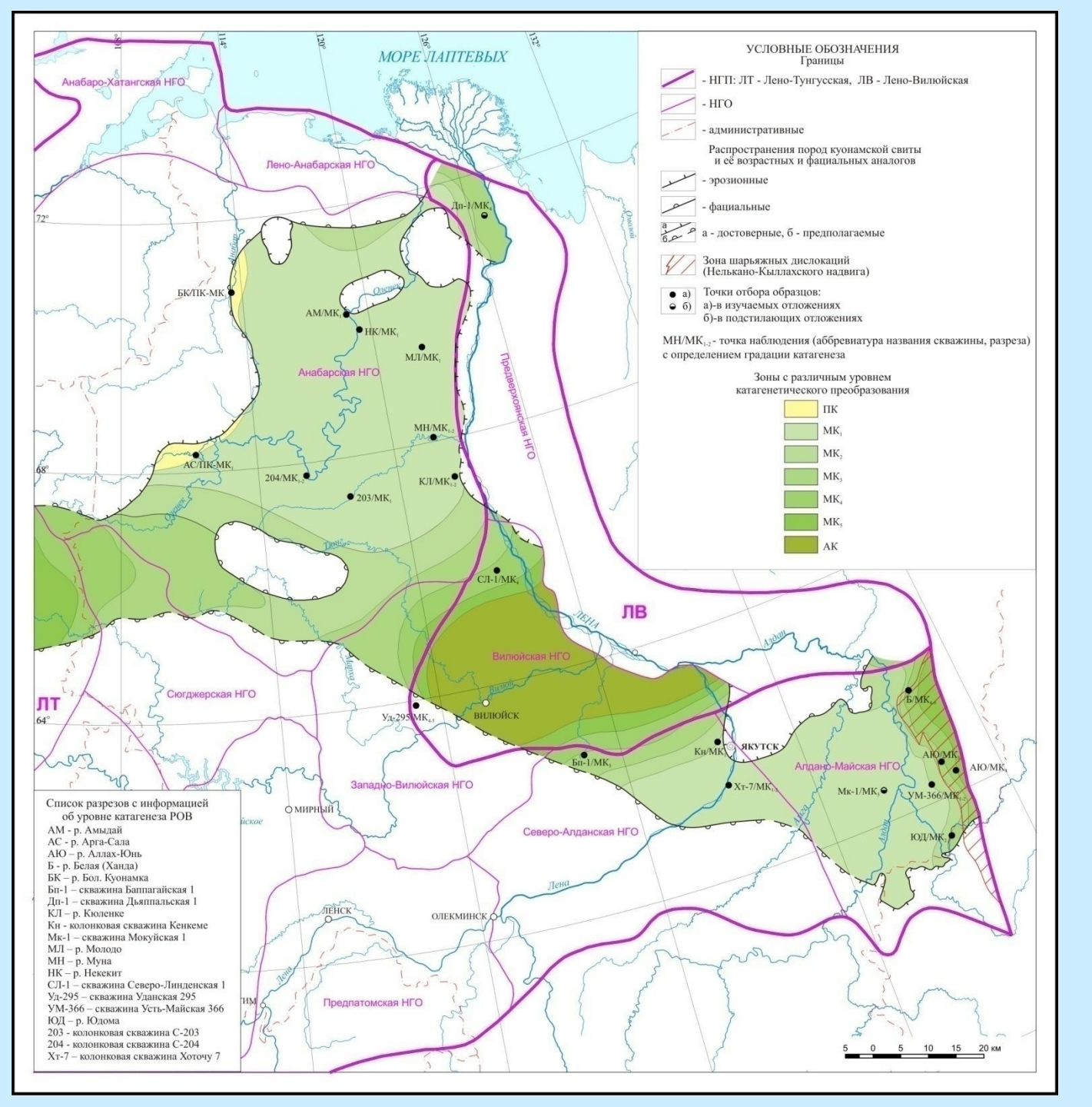
Прогнозная карта толщин куонамского комплекса на территории Западной Якутии (куонамская свита, ее возрастные и фациальные аналоги)



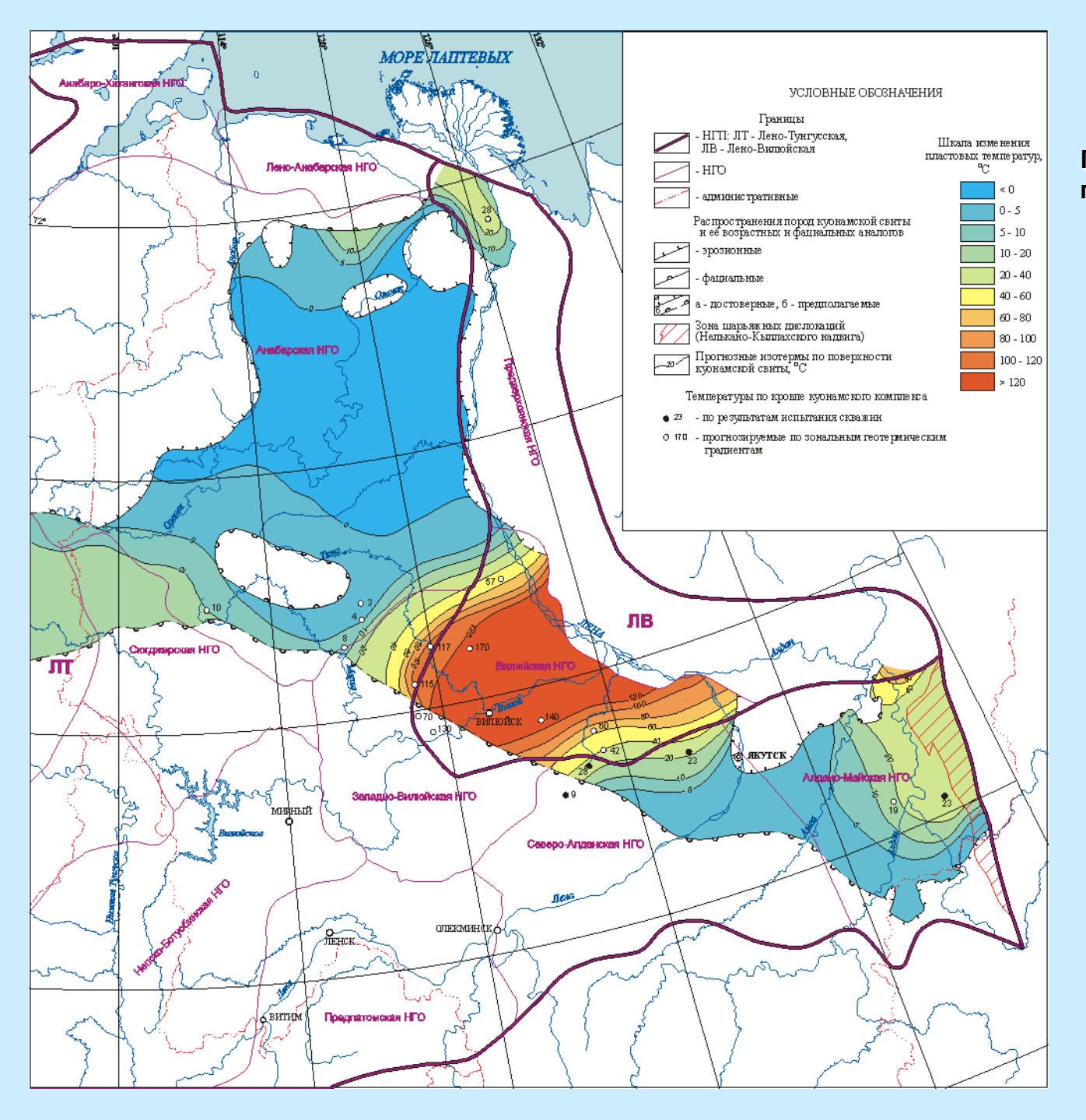
Прогнозная карта распределения концентраций органического углерода и хлороформенного битумоида в черносланцевых отложениях куонамской свиты, ее возрастных и фациальных аналогов на территории Западной Якутии

Сопоставление пиролитических и битуминологических параметров доманикитов куонамской свиты р.р. Кюленке, Муны, баженовской свиты скважины Салымская 121 и иниканской свиты скважины Усть-Майская 366. В числителе средние значения, в скобках число образцов. В знаменателе min - max

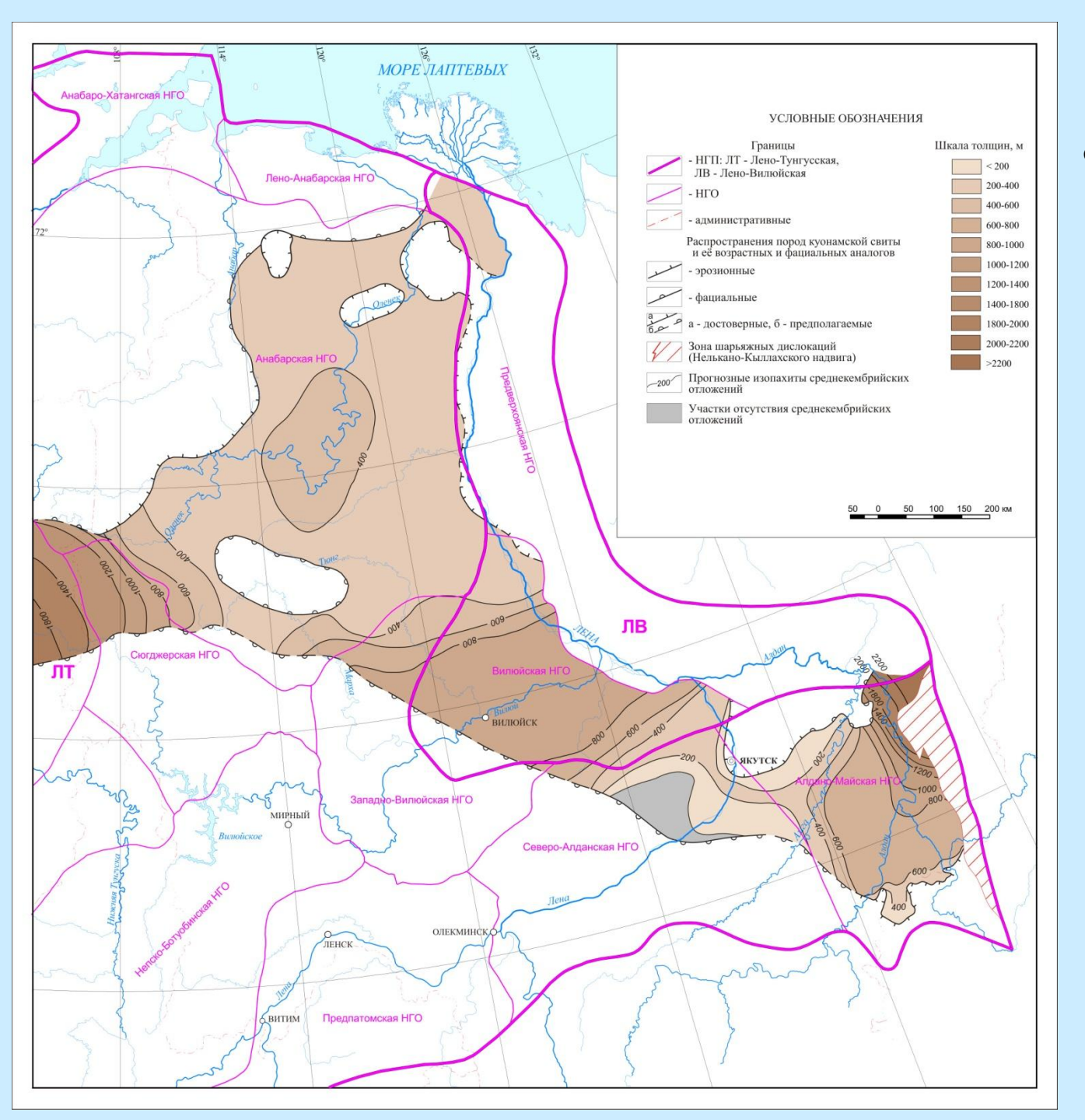
Объект	Сорг, %	S <sub>1</sub> , мг УВ/г породы	S <sub>2</sub> , мг УВ/г породы	PI $(S_1/S_1 + S_2)$	НІ, мг УВ/г Сорг	Tmax, °C	Бхл, % (щебень)
Доманикиты куонамской свиты, р. Кюленке (обнажение)	12,19 (48) 5,25-19,32	3,43 (48) 0,41-6,33	49,0 (48) 13,2-122,7	0,03 (48) 0,02-0,05	397 (48) 254-764	429-439	0,039 (42) 0,001-0,171
Доманикиты баженовской свиты, скв. Салымская 121	11,01 (14) 9,41-14,83	5,6 (14) 3,9-6,5	45,3 (14) 34,3-65,7	0,11 (14) 0,08-0,14)	410 (14) 366-465	437-441	1,58 (14) 0,98-2,13
Скв. К-203, 13, р. Муна, глуб. 110-	9,7 (9) 2,76-17,16	3,2 (9) 0,7-5,29	66,1 (9) 5,82-121,0	<u>0,07 ()</u> 0,03-0,23	607,3 (9) 210-706	419-434	0,86 (10) 0,37-1,57
Иниканская свита, скв. Усть- Майская 366	6,66 (3) 5,96-7,12	<u>1,84 (3)</u> 1,43-2,19	35,4 (3) 33,49-40,53	0,05 (3) 0,03-0,06	<u>547 (3)</u> 512-569	433-436	0,136 (3) 0,097-0,160



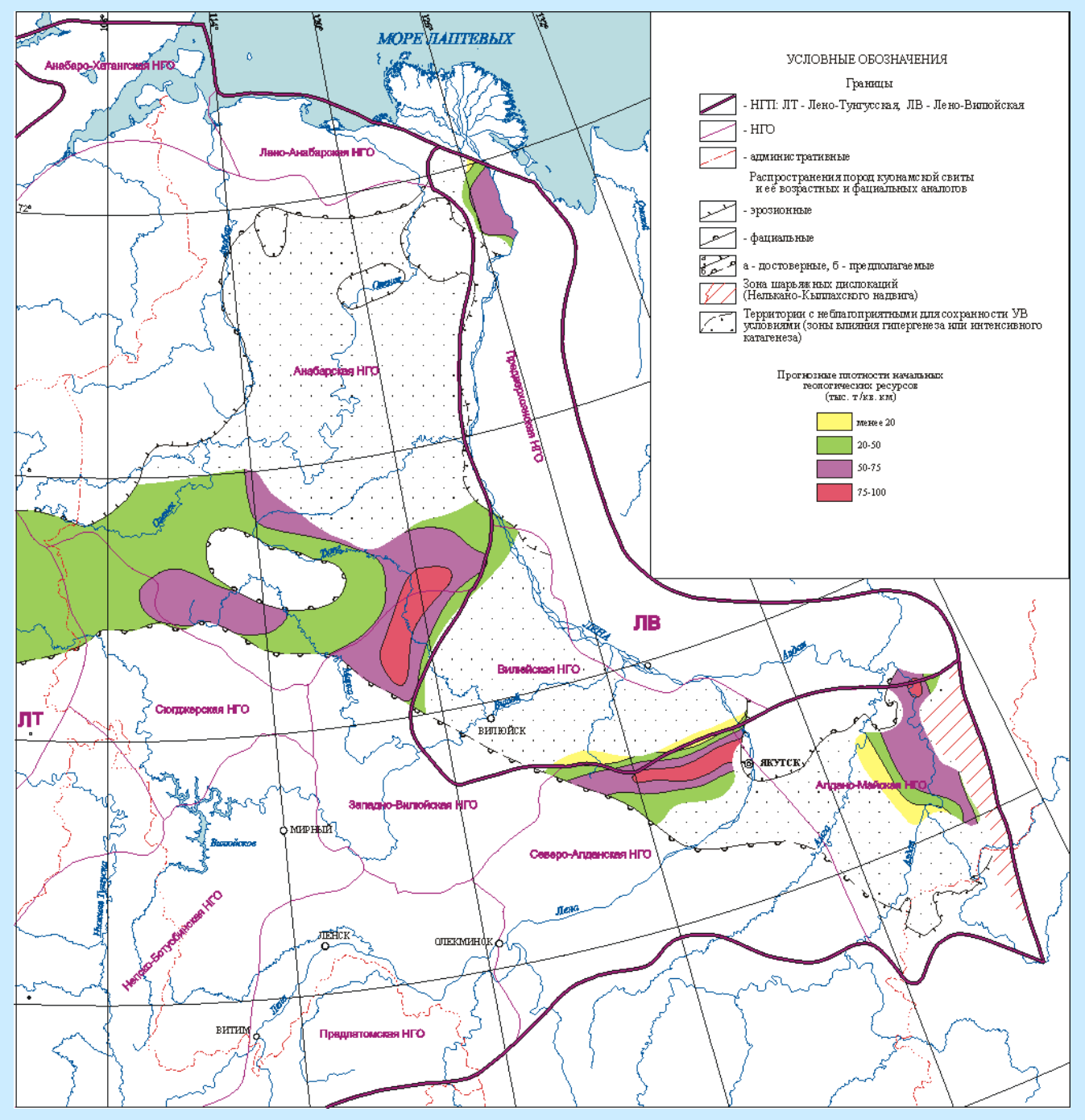
Прогнозная карта катагенетической преобразованности органического вещества в отложениях куонамского комплекса на территории Западной Якутии (куонамская свита, ее возрастные и фациальные аналоги)



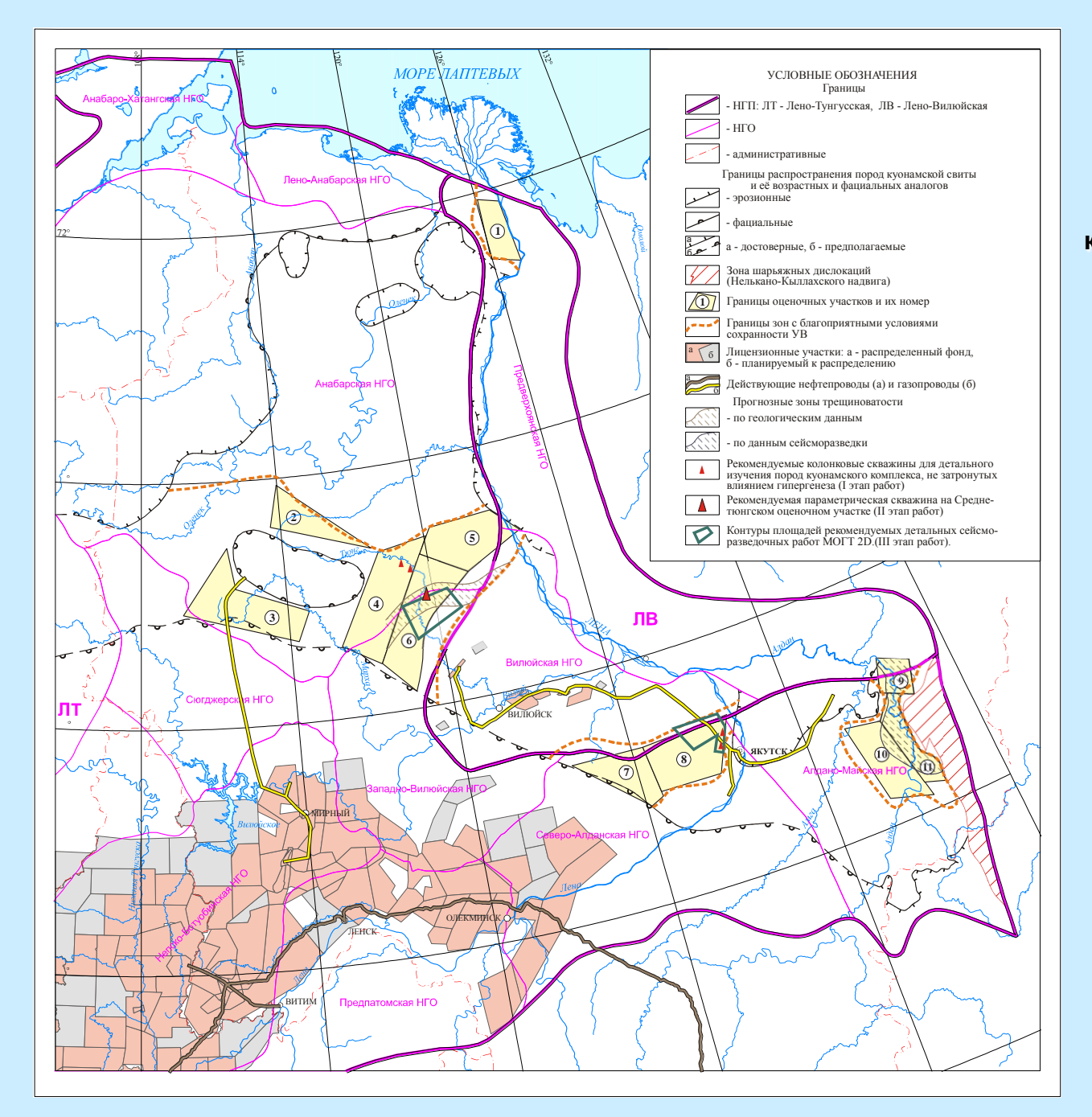
Прогнозная карта температур по кровле пород куонамского комплекса на территории Западной Якутии (куонамская свита, ее возрастные и фациальные аналоги)



Прогнозная карта толщин среднекембрийских отложений, перекрывающих породы куонамского комплекса на территории Западной Якутии



Прогнозная карта плотности начальных геологических ресурсов «сланцевой» нефти в породах куонамского комплекса отложений нижнегосреднего кембрия на территории Западной Якутии (куонамская свита, ее возрастные и фациальные аналоги)



Карта рекомендуемых направлений поисковоразведочных работ по изучению куонамского комплекса отложений Западной Якутии

#### СПИСОК ОЦЕНОЧНЫХ УЧАСТКОВ

- 1. Нижнеленский
- 2.Верхнемунский
- 3. Айхальский
- 4. Мархино-Тюнгский
- 5.Северо-Линденский
- 6.Среднетюнгский
- 7. Верхнесинский
- 8. Центрально-Якутский
- 9. Хандыгский
- 10. Алдано-Амгинский
- 11. Алданский

## Характеристика оценочных участков в поле развития черносланцевых отложений куонамского типа на территории Западной Якутии

Участок	Площадь км <sup>2</sup>	Толщина пород куонам- ского комплекса, м	Толщина обогащенных Сорг сланцев (> 5% на породу), м	Прогнозные пластовые температуры, С°	Толщина перекрыва- ющей средне- кембрийской толщи, м	Прогнозные плотности нач. геол. ресурсов, тыс. т/км <sup>2</sup>	Суммарные нач. геол. ресурсы, млн т
Нижнеленский, 1	5029	40-45	10-15	20-25	400-600	20-75	298
Верхнемунский, 2	7346	25-30	12-15	0-5	200-300	20-75	400
Айхальский, 3	15606	100-120	5-10	5-10	300-500	20-75	847
Мархино-Тюнгский, 4	16432	25-56	10-18	5-35	350-500	20-75	757
Северо-Линденский, 5	11846	40-50	12-20	5-40	200-300	20-75	574
Среднетюнгский, 6 15699		50-60	12-20	30-80	400-800	50-100	1834
Верхнесинский, 7	8537	60-125	2-10	10-40	200-600	20-100	434
Центрально-Якутский, 8 13103		60-80	15-25	20-40	50-300	20-100	763
Хандыгский, 9	3889	50-150	5-10	60-80	1000-1500	20-100	189
Алдано-Амгинский, 10	10531	30-40	5-10	10-20	300-800	10-75	420
Алданский, 11	6372	30-40	8-12	20-25	800-1200	20-75	394

